

## Лабораторная работа № 4.3.2

# Дифракция света на ультразвуковой волне в ЖИДКОСТИ

Ступаков Олег  
722 группа

8 февраля 2019 г.  
г. Долгопрудный

**ЦЕЛЬ РАБОТЫ:** изучение дифракции света на синусоидальной акустической решетке и наблюдение фазовой решетки методом темного поля.

**ОБОРУДОВАНИЕ:** оптическая скамья, осветитель, два длиннофокусных объектива, кювета с жидкостью, кварцевый излучатель с микрометрическим винтом, генератор звуковой частоты, линза, вертикальная нить на рейтере, микроскоп.

## I. Теоретическое введение

При прохождении ультразвуковой волны через жидкость в ней возникают периодические неоднородности коэффициента преломления, создается фазовая решетка, которую мы считаем неподвижной ввиду малости скорости звука относительно скорости света. Показатель преломления  $n$  изменяется по закону:

$$n = n_0(1 + m \cos \Omega x) \quad (1)$$

Здесь  $\Omega = 2\pi/\Lambda$  — волновое число для ультразвуковой волны,  $m$  — глубина модуляции  $n$  ( $m \ll 1$ ).

Положим фазу  $\phi$  колебаний световой волны на передней стенке кюветы равной нулю, тогда на задней поверхности она равна:

$$\phi = knL = \phi_0(1 + m \cos \Omega x) \quad (2)$$

Здесь  $L$  — толщина жидкости в кювете,  $k = 2\pi/\lambda$  — волновое число для света.

После прохождения через кювету световое поле есть совокупность плоских волн, распространяющихся под углами  $\theta$ , соответствующими максимумам в дифракции Фраунгофера:

$$\Lambda \sin \theta_m = m\lambda \quad (3)$$

Этот эффект проиллюстрирован на рисунке 1.

Зная положение дифракционных максимумов, по формуле (1) легко определить длину ультразвуковой волны, учитывая малость  $\theta$ :  $\sin \theta \approx \theta \approx l_m/F$ , где  $l_m$  — расстояние от нулевого до последнего видимого максимума,  $F$  — фокусное расстояние линзы. Тогда получим:

Установка с вертикальной щелью

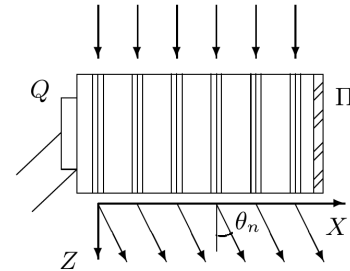


Рис. 1. Дифракция световых волн на акустической решетке

$$\Lambda = m\lambda F/l_m \quad (4)$$

Скорость ультразвуковых волн в жидкости, где  $\nu$  — частота колебаний излучателя:

$$v = \Lambda\nu \quad (5)$$

## II. Определение скорости ультразвука по дифракционной картине

Схема установки приведена на рисунке 2. Источник света Л через светофильтр Ф и конденсор К освещает вертикальную щель S, находящуюся в фокусе объектива  $O_1$ . После объектива параллельный световой пучок проходит через кювету С перпендикулярно акустической решетке, и дифракционная картина собирается в фокальной плоскости объектива  $O_2$ , наблюдается при помощи микроскопа М.

Предварительную настройку установки произведем в соответствии с инструкцией с зеленым фильтром, далее в работе используется красный.

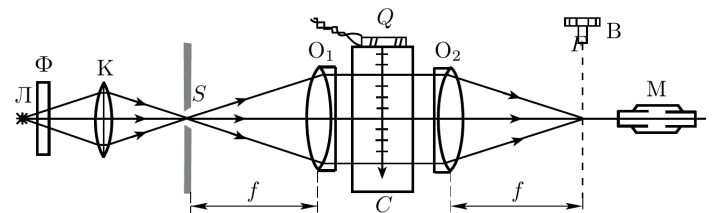


Рис. 2. Схема для наблюдения дифракции на акустической решетке

Параметры установки: фокусное расстояние объектива  $O_2 F = 30$  см, одно деление винта микроскопа составляет 4 мкм, погрешность измерений прием равной  $\sigma = 2$  деления, или 8 мкм.

Исследуем изменения дифракционной картины на зеленом свете. При увеличении частоты УЗ-генератора и приближении к 1,1 МГц проявляется дифракционная решетка: расстояние между максимумами растет.

Измерим положения  $x_m$  дифракционных максимумов с помощью микроскопического винта для четырех частот. Результаты измерений занесены в таблицы I-IV ниже. На основе каждой таблицы построены графики зависимости  $x_m(m)$ , они изображены на рисунках 3-6. Коэффициенты углов наклонов прямых для всех зависимостей сведены в таблицу V.

$m$	-3	-2	-1	0	1	2	3
$x_m$ , дел	-115	-78	-37	0	38	74	106
$x_m$ , мкм	-460	-312	-148	0	152	296	424

Таблица I

Измерение координаты  $m$ -ого максимума  $x_m$  дифракционной картины при частоте генератора  $\nu = 1,168$  МГц

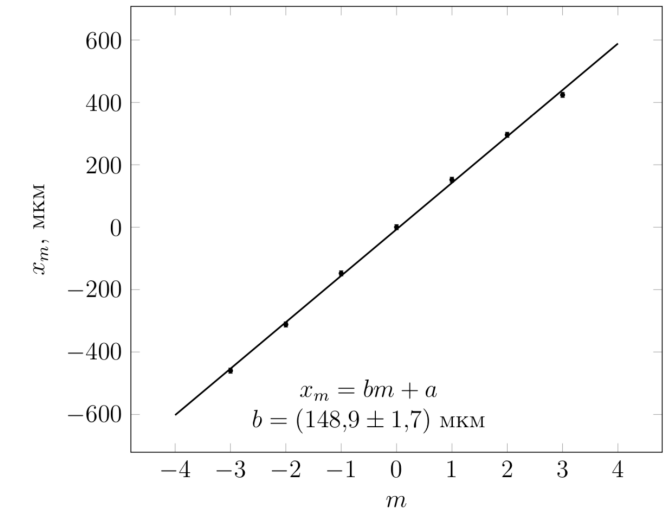


Рис. 3. График зависимости  $x_m(m)$  при частоте генератора  $\nu = 1,168$  МГц

$m$	-4	-3	-2	-1	0	1	2	3	4
$x_m$ , дел	-150	-116	-81	-38	0	38	80	120	154
$x_m$ , мкм	-600	-464	-324	-152	0	152	320	480	616

Таблица II

Измерение координаты  $m$ -ого максимума  $x_m$  дифракционной картины при частоте генератора  $\nu = 1,219$  МГц

Ошибка при определении  $\Lambda$  и  $v$  не превышает 2%. Согласно справочным данным, при комнатной температуре скорость ультразвуковой волны в воде составляет примерно 1490 м/с. Значения, полученные экспериментально, с достаточной точностью соотносятся с ними.

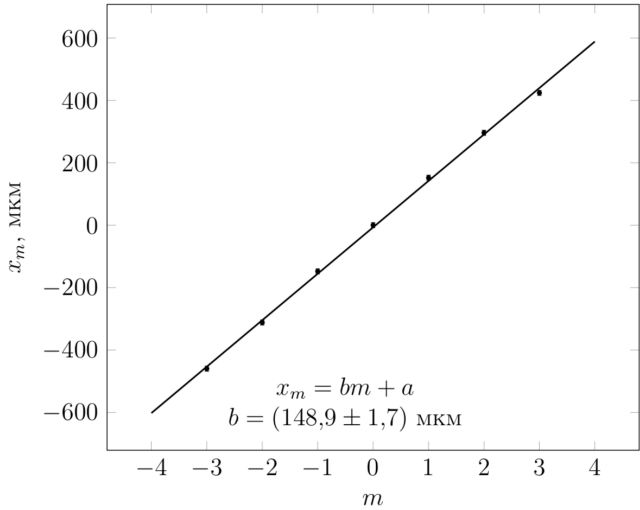


Рис. 4. График зависимости  $x_m(m)$  при частоте генератора  $\nu = 1,219$  МГц

$m$	-3	-2	-1	0	1	2	3
$x_m$ , дел	-116	-80	-38	0	45	86	126
$x_m$ , мкм	-464	-320	-152	0	180	344	504

Таблица III

Измерение координаты  $m$ -ого максимума  $x_m$  дифракционной картины при частоте генератора  $\nu = 1,248$  МГц

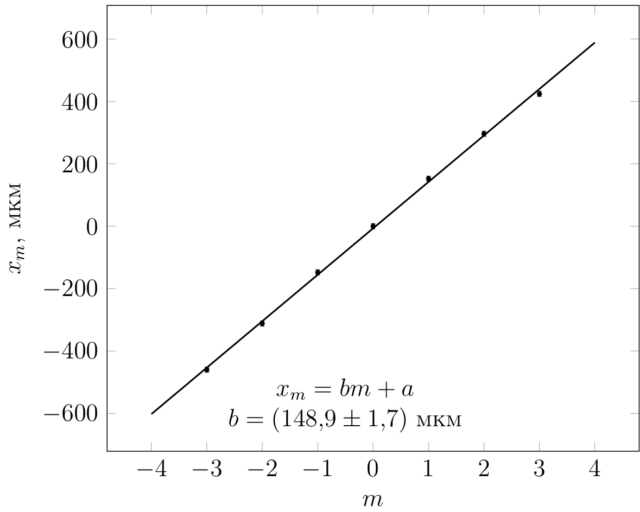


Рис. 5. График зависимости  $x_m(m)$  при частоте генератора  $\nu = 1,248$  МГц

$m$	-2	-1	0	1	2
$x_m$ , дел	-94	-43	0	45	85
$x_m$ , мкм	-376	-172	0	180	340

Таблица IV

Измерение координаты  $m$ -ого максимума  $x_m$  дифракционной картины при частоте генератора  $\nu = 1,331$  МГц

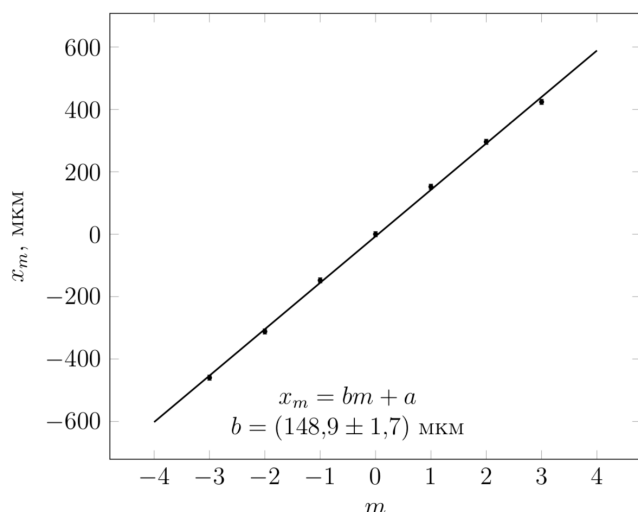


Рис. 6. График зависимости  $x_m(m)$  при частоте генератора  $\nu = 1,331$  МГц

$\nu$ , МГц	$b$ , мкм	$\sigma_b$ , мкм	$\Lambda$ , мкм	$\Delta\Lambda$ , мкм	$v$ , м/с	$\Delta v$ , м/с
1,168	148,9	1,6	1289	15	1507	15
1,219	154,8	1,3	1240	10	1512	13
1,258	163,0	1,4	1178	10	1482	13
1,331	178	3	1076	20	1432	30

Таблица V

Вычисление длины ультразвуковой волны  $\Lambda$  и скорости распространения ее в воде  $v$

### III. Определение скорости ультразвука методом темного поля

Для наблюдения акустической решетки используется метод темного поля, который заключается в устранении центрального дифракционного максимума с помощью непрозрачного экрана. Схема установки показана на рисунке 7.

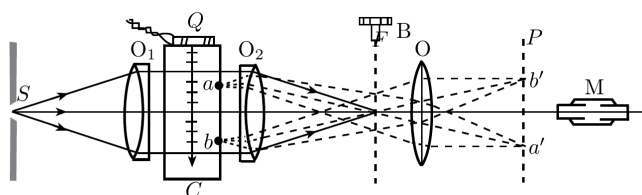


Рис. 7. Схема для наблюдения дифракции методом темного поля

Приставим к задней стенке (для светового луча) кюветы стеклянную пластинку с миллиметровыми делениями; сфокусируем микроскоп на изображение пластинки. Определим цену деления окулярной шкалы микроскопа, совместив ее с миллиметровыми делениями: в 6 делениях миллиметровой шкалы убирается 100 маленьких делений окулярной. Значит, цена деления окулярной шкалы:  $C = 0,06$  мм.

Без применения метода темного поля звуковая решетка не наблюдается. Закроем нулевой максимум

горизонтальной нитью. Таким образом, осевая составляющая фазово-модулированной волны поглощается, а боковые остаются без изменения. Получившееся поле:

$$f(x) = \frac{im}{2} e^{i\Omega x} + \frac{im}{2} e^{-i\Omega x} = im$$

$$\Downarrow$$

$$I(x) = m^2 \cos^2 \Omega x = m^2 \frac{1 + \cos^2 2\Omega x}{2}$$

Отсюда получаем, что расстояние между темными полосами есть  $\Lambda/2$ .

Проведем измерение длины ультразвуковой волны, приняв ошибку равной цене деления окулярной шкалы. В таблице 6 содержится количество маленьких делений окулярной шкалы  $N$  (цена деления  $C = 0,06$ ), соответствующее  $n$  темным полосам акустической решетки. Формулы для расчета длины волны ультразвука  $\Lambda$  и скорости распространения  $v$  в воде:

$$\Lambda/2 = NC/(n-1), \quad v = \nu\Lambda \quad (7)$$

Расчеты также приведены в таблице VI. Ошибка при таком определении скорости звука больше, чем в первой части работы, и составляет около 5%. Сами значения тоже получились больше.

$\nu$ , МГц	Количество делений шкалы окуляра $N$	Количество темных полос акустической решетки $n$	$\Lambda$ , мм	$v$ , 10 м/с	$\Delta v$ , 10 м/с
1,220	150	15	1,29	157	6
1,259	150	16	1,20	151	7
1,271	175	18	1,24	157	7

Таблица VI

Вычисление длины ультразвуковой волны  $\Lambda$  и скорости распространения ее в воде  $v$  методом темного поля

### IV. Вывод

В данной работе определялась скорость ультразвука в воде разными методами: с помощью дифракционной картины  $(v_{\text{сред}} = 1480 \pm 20) \text{ м/с}$  и методом темного поля  $(v'_{\text{сред}} = 1550 \pm 70) \text{ м/с}$ . Скорости, экспериментально определенные обоими методами, совпадают с табличными значениями в пределах погрешности.